

УДК 621.187.121

Гаращенко В.І. к.т.н.
Лук'янчук О.П. к.т.н.
Скрипник І.Г. к.х.н.
Гаращенко О.В.

ВПЛИВ ГЕОМЕТРИЧНИХ ПАРАМЕТРІВ ПЛАСТИНЧАСТОЇ ПЕРФОРОВАНОЇ НАСАДКИ МАГНІТНИХ ФІЛЬТРІВ НА ВЕЛИЧИНУ ЇЇ ЩІЛЬНОСТІ

Національний університет водного господарства та природокористування

Виконаний розрахунок щільності пластинчастої перфорованої насадки з використанням її геометричних параметрів. Проведені дослідження з визначення коефіцієнта осадження феродомішок при магнітному очищенні водно-дисперсної суспензії магнетиту.

Ключові слова: феромагнітна насадка, магнітне очищенні, осадження в магнітному полі, поліградієнтні фільтруючі матеріали.

Вступ

Нові технології, що використовуються сьогодні для підвищення якості рідких середовищ, передбачають, перш за все, покращення одного з основних показників – ступеня їх чистоти. Це досягається за рахунок ефективного очищенння рідких середовищ від забруднюючих домішок, на різних стадіях технологічних процесів. Внаслідок неперервної корозії, а також зносу елементів технологічного обладнання рідкі середовища забруднюються різного роду домішками, які в більшості випадків є залізомісткими [1,2,3,10]. В деяких технологічних процесах наявність цих домішок має вирішальний вплив на якість та сортність продукції, зменшуючи надійність та довговічність обладнання. Наприклад, наявність залізомістких домішок в рідкому аміаку всього 1-3 мг/л призводить до „отруєння” дороговартісних платинових каталізаторів, які використовуються в апаратах виробництва азотної кислоти, а це призводить до зменшення ступені конверсії, перевитрат аміаку, зменшення виробництва кислоти. Залізомісткі домішки в конденсатах і живильних водах котельних агрегатів теплових і атомних електростанцій при концентрації 50-200мкг/л утворюють на парогенеруючих поверхнях „залізи” відкладення, які збільшують термічний і гідрравлічний опори, погіршують тепlopпередачу, призводять до перевитрати палива і теплової енергії, а в окремих випадках до розриву труб [2].

Встановлено, що залізомісткі домішки мають феромагнітні властивості [1,2]. Це є умовою використання магнітних фільтрів для ефективного очищенння рідких середовищ від цих домішок. При здійсненні процесу магнітного очищенння значна роль належить феромагнітним фільтраційним насадкам, через які проходять рідкі середовища. В порах намагнічених насадок створюються зони високо градієнтного магнітного поля, в яких відбувається процес осадження феромагнітних домішок [1,2].

Аналіз останніх досліджень

Відомо використання феромагнітних фільтруючих насадок у вигляді феромагнітних кульок, дробу, сіток, гранул стружки, гранул фериту, стрижнів з не рифленою і рифленою поверхнею [2]. Вказані насадки використовуються для магнітного очищенння з врахуванням їх особливих магнітних і фільтраційних властивостей. Наприклад, дріб з нержавіючої феромагнітної сталі [1,10] використовують для тонкого магнітного очищенння конденсатів теплових і атомних електростанцій і середовищ хімічної технології.

Мета роботи

Розробка, розрахунок і дослідження пластинчастої перфорованої насадки магнітних фільтр-осаджувачів для очищенння рідких середовищ від феромагнітних домішок.

Виклад основного матеріалу

Запропонована нова фільтраційна феромагнітна насадка з перфорованих пластин [4-9]. Кожна пластина такої насадки виготовлена з отворами, які утворені методом штампування з використанням матриці (рис.1). При розриванні металу (рис.1) навколо отвору утворюються трикутникоподібні грані. В залежності від форми елементу штампу (трьох-, чотирьох-, п'яти-,

шестигранної форми) відповідно утворюється така ж кількість трикутникоподібних граней (рис.2).

Важливим параметром, що характеризує магніто-фільтраційні властивості насадки, є щільність пакування \mathcal{W} , в даному випадку перфорованих пластин. Величина \mathcal{W} залежить від діаметра описаного кола d , товщини пластин h , кутів α та γ (рис.3,4). З геометрії малюнка (рис.3,4) видно, що при куті γ рівному $\pi/2$, щільність пакування насадки \mathcal{W} буде мати мінімальне значення.

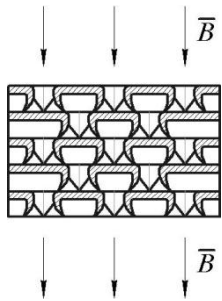


Рис.1. Схема пластинчастої перфорованої насадки.

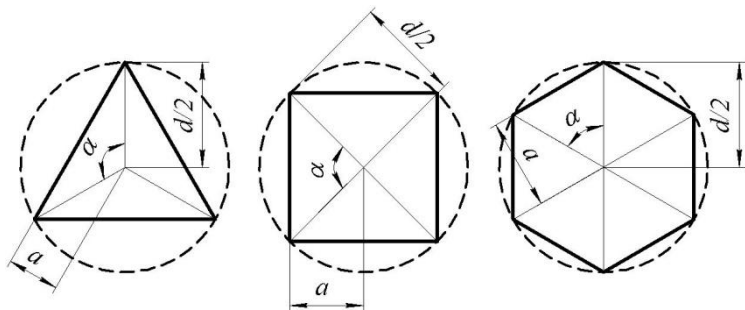


Рис.2. Схема утворення трикутникоподібних граней у перфорованих пластинах.

При куті γ всього декілька градусів, величина \mathcal{W} набуває максимального значення. При накладанні пластин одна на одну (рис.1,4) та розміщенні їх в зовнішньому магнітному полі B , в точках контакту А, В, С (рис.4) утворюються зони високоградієнтного магнітного поля, в яких осаджуються феромагнітні домішки рідких середовищ, що очищаються.

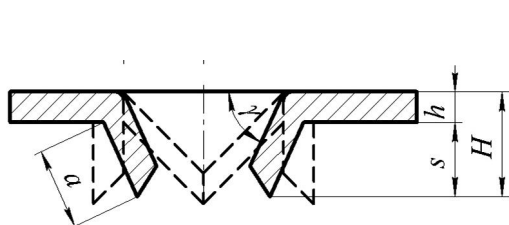


Рис.3. Елемент пластинчастої перфорованої насадки при різних кутах нахилу γ

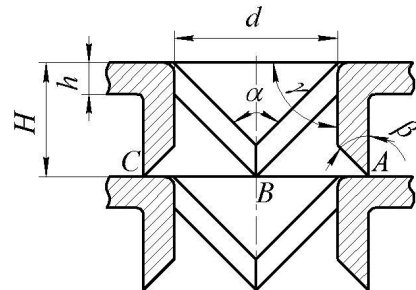


Рис.4. Зони А, В, С з високою неоднорідністю магнітного поля

Неоднорідність магнітного поля, а відповідно, і силовий фактор поля $H_{grad}H$ визначається, окрім величин h , d , кутів α та γ , також величиною кута β (рис.4). Розрахунки показують, що величину кута β необхідно встановлювати $\sim \pi/4$. Використовуючи геометрію малюнків пластин (рис.2,3,4), знаходимо величину щільності \mathcal{W} :

$$\mathcal{W} = \frac{h}{h + \frac{d}{2} \cdot \cos \frac{\pi}{n} \cdot \sin \gamma} \quad (1)$$

h – товщина пластини; d – діаметр описаного кола; $r=d/2$ – радіус описаного кола; n – кількість трикутникоподібних граней отвору; $2\pi/n = \alpha$; α – кут контакту, γ – кут нахилу граней. Пористість насадки $\Pi=1-\mathcal{W}$. Використовуючи (1) отримаємо:

$$\Pi = \frac{r \cdot \cos \frac{\pi}{n} \cdot \sin \gamma}{h + r \cdot \cos \frac{\pi}{n} \cdot \sin \gamma} \quad (2)$$

Кут нахилу γ з (1) визначимо як: $\gamma = \arcsin \left[\frac{h}{r \cdot \cos \frac{\pi}{n}} \left(\frac{1}{\mathcal{W}} - 1 \right) \right]$ (3)

Залежність щільності $\bar{\chi}$ пластинчастої перфорованої насадки від товщини h при різних значеннях n і d суттєво зростає при зміні h від 0 до 2мм (рис.5). Так для $n = 3$ ($\alpha=120^\circ$), $d=2\text{мм}$ при зміні h від 0 до 2мм, щільність зростає до 0,8; при зміні h від 2 до 4мм, величина $\bar{\chi}$ зростає від 0,8 до 0,91; при зміні h від 4 до 6мм, величина $\bar{\chi}$ зростає від 0,91 до 0,93.

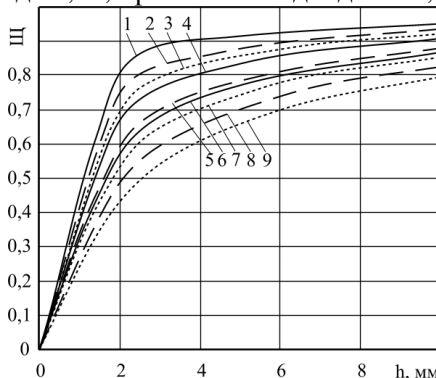


Рис. 5. Залежність щільності ($\bar{\chi}$) феромагнітної пластинчастої перфорованої насадки від товщини (h) пластин, при різних значеннях кількостей (n)

- граней отвору і діаметра (d) описаного кола:
- 1 – $n=3$ ($\alpha=120^\circ$), $d=2\text{ мм}$; 2 – $n=4$ ($\alpha=90^\circ$), $d=2\text{ мм}$;
 - 3 – $n=6$ ($\alpha=60^\circ$), $d=2\text{ мм}$; 4 – $n=3$ ($\alpha=120^\circ$), $d=4\text{ мм}$;
 - 5 – $n=4$ ($\alpha=90^\circ$), $d=4\text{ мм}$; 6 – $n=3$ ($\alpha=120^\circ$), $d=6\text{ мм}$;
 - 7 – $n=6$ ($\alpha=60^\circ$), $d=4\text{ мм}$; 8 – $n=4$ ($\alpha=90^\circ$), $d=6\text{ мм}$;
 - 9 – $n=6$ ($\alpha=60^\circ$), $d=6\text{ мм}$.

Особливістю пластинчастої перфорованої насадки є те, що технологія виготовлення такої насадки дозволяє встановлювати щільність $\bar{\chi}$ пакування пластин від мінімального значення до 0,95-0,98. В той же час, при очищенні сильноконцентрованих водних суспензій, забруднених домішками з яскраво вираженими феромагнітними властивостями, необхідно використовувати феромагнітну фільтраційну насадку з невисоким значенням щільності пакування, наприклад, 0,1-0,3.

Користуючись графіками (рис.6,7), в залежності від виду рідкого середовища, що очищується, розраховується величина щільності $\bar{\chi}$ при певних значеннях h і d .

Змінюючи величини h , d , n а та γ , можна виготовити пластинчасту перфоровану насадку з необхідною щільністю $\bar{\chi}$, прогнозованою величиною середньої індукції магнітного поля \bar{B} в об'ємі насадки та необхідною густину точок контакту трикутникоподібних граней з поверхнею суміжних пластин, а це визначає густину зон високоградієнтного магнітного поля $H_{grad}H$ і, відповідно, ефективність процесу магнітного очищення рідких середовищ.

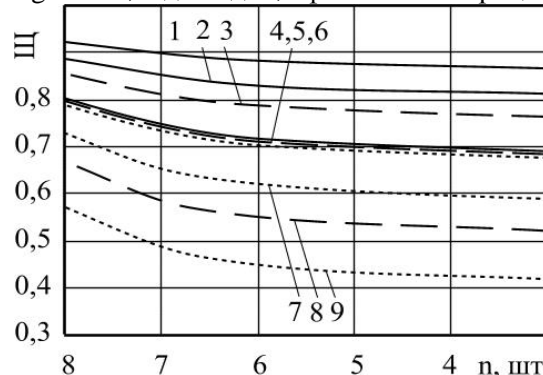


Рис.7. Залежність щільності ($\bar{\chi}$) феромагнітної пластинчастої перфорованої насадки від кількості граней отвору, при різних значеннях товщини (h) пластин і діаметра (d) описаного кола:

- 1 – $h=6\text{ мм}$, $d=2\text{ мм}$; 2 – $h=4\text{ мм}$, $d=2\text{ мм}$;
- 3 – $h=6\text{ мм}$, $d=4\text{ мм}$; 4 – $h=2\text{ мм}$, $d=2\text{ мм}$;
- 5 – $h=4\text{ мм}$, $d=4\text{ мм}$; 6 – $h=6\text{ мм}$, $d=6\text{ мм}$;
- 7 – $h=4\text{ мм}$, $d=6\text{ мм}$; 8 – $h=2\text{ мм}$, $d=4\text{ мм}$;
- 9 – $h=2\text{ мм}$, $d=6\text{ мм}$.

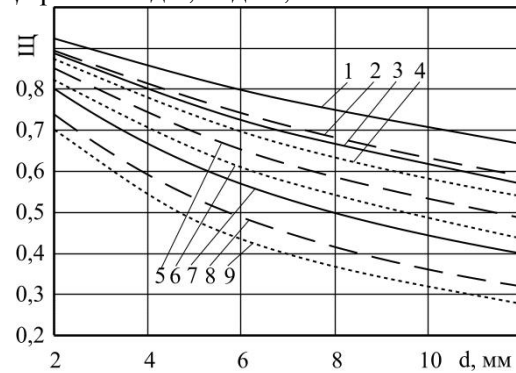


Рис. 6. Залежність щільності ($\bar{\chi}$) феромагнітної пластинчастої перфорованої насадки від діаметра (d) описаного кола, при різних значеннях товщини (h) пластин і кількостей (n) граней отвору:

- 1 – $n=3$ ($\alpha=120^\circ$), $h=6\text{ мм}$; 2 – $n=4$ ($\alpha=90^\circ$), $h=6\text{ мм}$;
- 3 – $n=3$ ($\alpha=120^\circ$), $h=4\text{ мм}$; 4 – $n=6$ ($\alpha=60^\circ$), $h=6\text{ мм}$;
- 5 – $n=4$ ($\alpha=90^\circ$), $h=4\text{ мм}$; 6 – $n=6$ ($\alpha=60^\circ$), $h=4\text{ мм}$;
- 7 – $n=3$ ($\alpha=120^\circ$), $h=2\text{ мм}$; 8 – $n=4$ ($\alpha=90^\circ$), $h=2\text{ мм}$;
- 9 – $n=6$ ($\alpha=60^\circ$), $h=2\text{ мм}$.

Зміну величини середньої індукції \bar{B} в об'ємі пластинчастої перфорованої насадки при фіксованих значеннях h , d , n , α можна здійснювати змінюючи кут γ (рис.8), відповідно, буде змінюватись і величина щільності $\mathcal{I}\mathcal{C}$. При $\gamma=90^\circ$, h , d , n , $\alpha = \text{const}$ для даної насадки величини $\mathcal{I}\mathcal{C}$ та \bar{B} будуть мати мінімальне значення і, навпаки, при $\gamma=(0-5)^\circ$ величини $\mathcal{I}\mathcal{C}$ і \bar{B} будуть мати максимальне значення.

Проводились дослідження фільтраційних властивостей перфорованої пластинчастої насадки при магнітному очищенні водної суспензії магнетиту від дисперсних часток заліза. Паралельно, для порівняння, з використанням магнетитової суспензії проводились дослідження стружкової насадки (рис.11), яка представляла собою відходи металообробки з корозійно-стійких феромагнітних сталей (0Х13-40Х13). Еквівалентний діаметр гранул стружки складав 3-5мм. Результати досліджень представлені на рис.9 (а,б,в) і на рис.10.

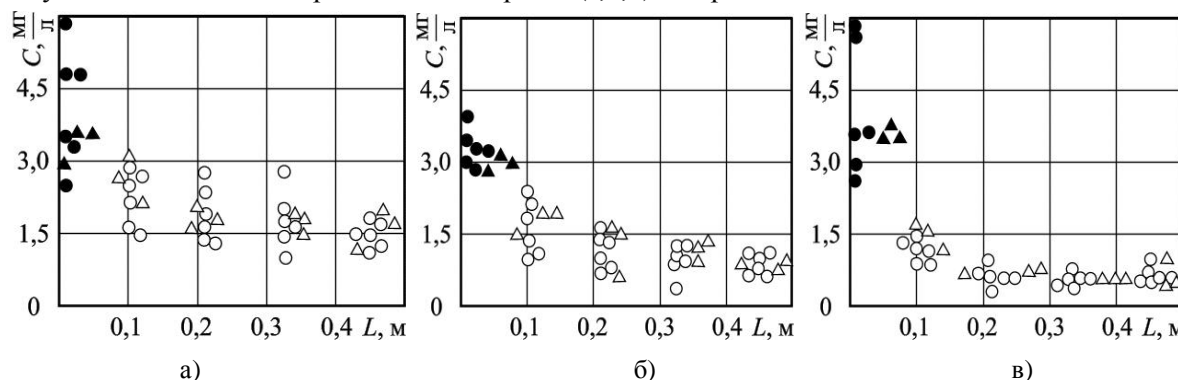


Рис. 9. Вплив висоти шару намагніченого насадки при $V=100\text{м}/\text{год}$ і $\mathcal{I}\mathcal{C}=0,112$ на вміст заліза у водно-дисперсній суспензії магнетиту; а)- $H=5\text{kA/m}$; б)- $H=19\text{kA/m}$; в)- $H=52\text{kA/m}$. •, ▲ – вихідна концентрація заліза при випробуванні відповідно пластинчастої і стружкової насадок; ○, Δ - те ж після фільтра

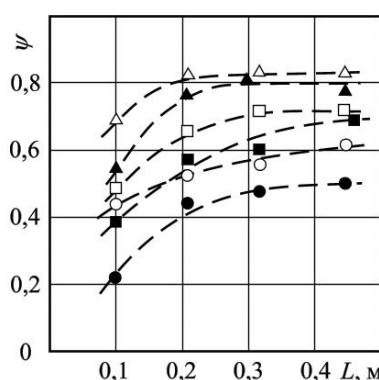


Рис.10. Залежність коефіцієнта очищення від висоти шару намагніченого насадки при $V=100\text{м}/\text{год}$ і $\mathcal{I}\mathcal{C}=0,112$ ○, □, Δ - перфорована пластинчаста, •, ■, ▲ - стружкова насадка відповідно при $H=5, 19, 52\text{kA/m}$.

Коефіцієнт очищення перфорованої пластинчастої насадки, рис.10, при зміні L від 0,1 до 0,45 і $H=5,19,52\text{kA/m}$ в порівнянні з стружковою насадкою більший в 1,1-1,3 рази. Це можна пояснити тим, що трикутникоподібні гострі грані (рис.2,4) в точках контакту А, В, С з поверхнями суміжних пластин створюють високо градієнтні зони захвату феромагнітних домішок. Так, наприклад, для пластиини $\varnothing 100\text{mm}$ при $n=6$ ($\alpha=60^\circ$), $d=4\text{mm}$, рис.5 розрахунок показує, що кількість трикутникоподібних граней для однієї пластиини складе 1660, а для висоти шару 0,45м пластин кількість точок контакту складе ≈ 300000 . При накладанні зовнішнього магнітного поля ці точки контакту перетворюються в зони неоднорідного магнітного поля, які забезпечують процес магнітного очищення.

Висновки

Визначені геометричні параметри, які визначають щільність пакування пластинчастої перфорованої насадки. Виконані порівняльні фільтраційні дослідження пластинчастої

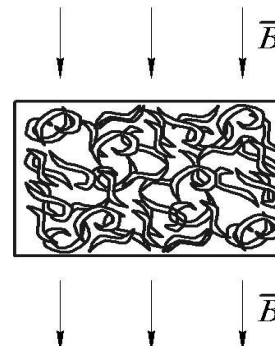


Рис.11. Схема стружкової феромагнітної насадки

перфораційної і стружкової насадок. Показано, розрахунками, що пластинчасту перфоровану насадку, в залежності від виду середовища, що очищується (сильноконцентроване або слабоконцентроване), можна виготовляти з щільністю пакування від \min значення до величини 0,95.

Список літературних джерел

1. Гаращенко В.І. Магніто-сорбційні властивості гранульованих фільтруючих насадок / Гаращенко В.І., Скрипник І.Г., Лук'янчук О.П., Гаращенко О.В. // Вісник Національного університету водного господарства та природокористування – 2008.-№3-с.184-191.
2. Сандуляк А.В., Гаращенко В.І. Электромагнитные фильтр-осадители. Монография. Львов. „Вища школа” 1982.-70с.
3. Гаращенко В.І. Екологічно безпечний метод очистки текучих середовищ в намагнічених полі градієнтних насадках /Гаращенко В.І./Проблеми фундаментальної і прикладної екології, екологічної геології і раціонального природокористування: IV Міжнародна науково-практична конференція., 19-21.03.2009р.: тези. доп. – Кривий Ріг 2009р. – с.125-127.
4. А.С. 1152618 СССР „МКИ” В01D35/06. Магнитный железоотделитель. / В.И.Гаращенко, А.В.Сандуляк, И.В.Волков. (СССР).-№3665227/23-26; заявл.17.11.83; опубл.30.04.85, бюл.№16.
5. А.С. 1492521 СССР „МКИ” В01D35/06. Устройство для магнитной очистки жидких и газовых сред. / В.И.Гаращенко, И.В.Волков, И.А.Супруньюк, А.Г.Михальчук (СССР).-№4283500/30-26; заявл.15.06.87; опубл.30.04.85, ДСП.
6. А.С. 1690820 СССР „МКИ” В01D35/06. Магнитный отделитель ферросодержащих частиц от текучих сред. / В.И.Гаращенко, И.В.Волков, А.В.Сандуляк. (СССР).-№3935233/23-26; заявл.23.07.85; опубл.15.11.91, бюл.№42.
7. А.С. 1504870 СССР „МКИ” В03 1/00. Магнитный фильтр-сепаратор для очистки жидкостей и газов от примесей. / В.И.Гаращенко, А.В.Сандуляк, И.В.Волков. (СССР).-№3877702/23-26; заявл.22.04.85; ДСП.
8. Patent of USA №5.089.128 B01D35/06. Apparatus for separation of ferromagnetic materials from fluid media/ V.I.Garaschenko, A.V.Sandulyak, I.V.Volkov (U.S.S.R) – 460.907. May 25. 1988. Pub.Date. Nov.30.1989
9. Гаращенко В.И., Дубчак В.А., Волков И.В.. Новая полиградиентная пластинчастая фильтрующая насадка. Информационный листок №49-85. Ровенский межотраслевой территориальный центр научно-технической информации и пропаганды. 1985г. 4с. Серия 17.00. Охрана окружающей среды.
10. Гаращенко В.І. Поліградієнтні феромагнітні матеріали для очистки водно-дисперсних середовищ. / Гаращенко В.І. //Фізичні процеси та поля технічних і біологічних об'єктів: VII Всеукраїнська науково-технічна конференція., 7-9.11.2008р.: тези доп. Кременчук. 2008р. с.137